

Е. Н. МЕЛЬНИКОВА,
Ю. С. ХАРИН, д-р физ.-мат. наук

(Белорусский государственный университет, Минск)

ОБНАРУЖЕНИЕ МНОГОКРАТНЫХ «РАЗЛАДКОВ» И КЛАССИФИКАЦИЯ ВРЕМЕННЫХ РЯДОВ С ПОМОЩЬЮ СТАТИСТИЧЕСКИХ ОЦЕНОК МЕЖКЛАССОВЫХ РАССТОЯНИЙ

Рассматриваются задачи статистического анализа векторных временных рядов с многократными «разладками». Для оценивания моментов «разладки», проверки их значимости и классификации временного ряда предлагаются методы, основанные на параметрических и непараметрических оценках межклассовых расстояний. Приводятся результаты вычислительных экспериментов.

1. Введение

Прикладная теория обнаружения изменений свойств («разладок») стохастических сигналов и динамических систем интенсивно развивается [1–4] в связи с задачами обнаружения и оценивания изменений свойств временных рядов, возникающими в медицинской и технической диагностике, при контроле технологических процессов, автоматизированной обработке экспериментальных данных, в геофизике, радиотехнике [1, 3, 5]. Одна из этих задач — задача о многократных «разладках» при заданном числе $L \geq 2$ моделей (классов) случайной последовательности [6–8], актуальная при построении алгоритмов контроля за состоянием систем управления, при разработке адаптивных процедур идентификации сложных нестационарных динамических систем и явлений с L режимами функционирования, имеющих на случайных интервалах времени различную структуру или различные режимы функционирования [9, 10]. Каждый режим (класс) описывается собственной вероятностной моделью, а система обладает свойством «кусочной однородности»: если в момент времени $t+1$ начался i -й режим, то он сохраняется в моменты $t+1, \dots, t+\tau^0$, а затем в момент $t+\tau^0+1$ может измениться на j -й ($i, j \in S = \{1, 2, \dots, L\}$) и т. д. Изменение режима происходит в случайные моменты времени; длина интервала однородности τ^0 достаточно велика и неизвестна. Многократное применение известных алгоритмов обнаружения единичных «разладков» для решения такого типа задач не учитывает повторяемость классов и не позволяет провести классификацию участков однородности. Применение методов максимального правдоподобия и байесовских методов, как показано в [7, 11], позволяет построить эффективные решающие правила для оценивания моментов «разладки» и классификации участков однородности, но приводит к алгоритмам недопустимо высокой сложности, трудно реализуемым на практике. Для

преодоления этих недостатков здесь развивается общий подход, использующий параметрические и непараметрические оценки межклассовых расстояний.

2. Математическая модель. Постановка задач

Пусть в пространстве наблюдений R^N определено некоторое регулярное семейство \mathcal{P} N -мерных плотностей распределения вероятностей $p(x)$, $x \in R^N$ и зафиксировано $L \geq 2$ различных неизвестных плотностей $p_1^0(\cdot), \dots, p_L^0(\cdot) \in \mathcal{P}$, являющихся математическими моделями случайных наблюдений из классов $\Omega_1, \dots, \Omega_L$ соответственно. Наблюдается временной ряд X длительностью n , состоящий («склеенный») из K^0 серий («участков однородности») случайной длины:

$$X = (x_1, \dots, x_n) = (X_1^0, \dots, X_{K^0}^0), \quad X_k^0 = (x_{T_{k-1}^0+1}, \dots, x_{T_k^0}), \quad (1)$$

$$T_k^0 = T_{k-1}^0 + \tau_k^0 \quad (k=1, K^0), \quad T_0^0 = 0, \quad T_{K^0}^0 = n,$$

где X_k^0 — k -я серия τ_k^0 независимых случайных наблюдений, принадлежащих одному и тому же классу $\Omega_{d_k^0}$ и имеющих плотность распределения $p_{d_k^0}(\cdot) \in \mathcal{P}$. Здесь $d_k^0 \in S$ — неизвестный истинный номер класса, которому принадлежит X_k^0 ; T_k^0 — неизвестный случайный момент возможного перехода от класса $\Omega_{d_k^0}$ к классу $\Omega_{d_{k+1}^0}$ (k -й момент «разладки», если $d_k^0 \neq d_{k+1}^0$). Будем предполагать, что длины серий $\tau_1^0, \dots, \tau_{K^0}^0$ принимают значения из заданного множества: $\tau_k^0 \in A_T = \{\tau_-, \tau_-+1, \dots, \tau_+\}$ ($k=1, K^0$) и образуют случайную последовательность с двумерным распределением вероятностей

$$g_2(\tau, \tau') = P\{\tau_k^0 = \tau, \tau_{k+1}^0 = \tau'\}, \quad \tau, \tau' \in A_T \quad (k=1, K^0-1), \quad (2)$$

здесь τ_{\pm} — наибольшее и наименьшее допустимые значения длин серий. Частным случаем (2) является случай независимых, одинаково распределенных длин серий:

$$g_2(\tau, \tau') = q_1(\tau)q_1(\tau'), \quad q_1(\tau) = P\{\tau_k^0 = \tau\}, \quad \tau \in A_T \quad (k=1, K^0). \quad (3)$$

Число серий K^0 неизвестно: $K^0 \in A_K = \{K_-, K_-+1, \dots, K_+\}$, где K_{\pm} — наибольшее и наименьшее допустимое число серий, $L \leq K_+ \leq [n/\tau_-] + 1$, $K_- \geq [n/\tau_+]$ ($[y]$ — целая часть числа y).

По наблюдаемой реализации X необходимо построить решающие правила для оценивания числа серий $K^0 \in A_K$, моментов «разладки» $\{T_k^0\}$, номеров классов $\{d_k^0\}$ при различных уровнях априорной информации о $\{p_k^0(\cdot)\}$.

3. Функционал межклассового расстояния. Случай параметрической априорной неопределенности

Пусть X_k^0, X_l^0 ($1 \leq k \leq l \leq K^0$) — две произвольные серии наблюдений временного ряда X , имеющие длины τ_k^0, τ_l^0 соответственно и принадлежащие Ω_k, Ω_l . Определим функционал межклассового расстояния для пары классов Ω_k, Ω_l :

$$\rho_{kl}^0 = \rho(p_k^0, p_l^0) = f_2 \left(\int_{R^N} f_1(p_k^0(x), p_l^0(x)) dx \right). \quad (4)$$

Здесь $f_1(z_1, z_2) \geq 0$ — дважды непрерывно дифференцируемая симметричная функция аргументов $z_1, z_2 \geq 0$, такая, что $f_1(z_1, z_2) = 0 \Leftrightarrow z_1 = z_2$; $f_2(y) \geq 0$ — монотонно возрастающая функция аргумента $y \geq 0$; $f_2(y) = 0 \Leftrightarrow y = 0$. Частные случаи (4): расстояние в L_2 -метрике при

$$(5) \quad f_1(z_1, z_2) = (z_1 - z_2)^2 / 2, \quad f_2(y) = y;$$

расстояние Бхаттачарья [12] при

$$(6) \quad f_1(z_1, z_2) = (\sqrt{z_1} - \sqrt{z_2})^2 / 2, \quad f_2(y) = -\ln(1-y);$$

дивергенция Кульбака [8] при

$$(7) \quad f_1(z_1, z_2) = (z_2 - z_1) \ln(z_2/z_1), \quad f_2(y) = y.$$

Чем больше ρ_{kl}^0 , тем «сильнее» различие вероятностных распределений k -й и l -й серий. На практике распределения $p_k^0(\cdot), p_l^0(\cdot)$ обычно не известны, поэтому рассмотрим задачу оценивания функционала ρ_{kl}^0 по X . Вначале исследуем случай параметрической априорной неопределенности.

Пусть $\mathcal{P} = \{p(x; \theta), x \in R^N: \theta \in \Theta \subseteq R^m\}$ — m -параметрическое ($m < \tau_1$) семейство плотностей распределения вероятностей, удовлетворяющее условиям регулярности Чибисова [13]; $\{\theta_1^0, \dots, \theta_L^0\} \subset \Theta$ — подмножество L различных неизвестных значений параметра: $p_i^0(x) = p(x; \theta_i^0), i = 1, L$. Обозначим с учетом (4): $\rho_1(\theta_k, \theta_l) = \rho(p(\cdot; \theta_k), p(\cdot; \theta_l)), \theta_k, \theta_l \in \Theta; \nabla_{\theta}^j$ — оператор вычисления набора m^j частных производных порядка j по $\theta \in R^m$;

δ_{ij} — символ Кронекера; T — знак транспонирования; $J(\theta) = - \int_{R^N} (\nabla_{\theta}^2 \ln p(x;$

$\theta)) p(x; \theta) dx$ — положительно определенная информационная матрица Фишера порядка m ; $\hat{\theta} \in \Theta$ — оценка максимального правдоподобия параметра θ_k^0 , вычисленная по серии наблюдений X_k^0 ;

$$(8) \quad \hat{\rho}_{kl} = \hat{\rho}_{kl}(T_{k-1}^0, T_k^0, T_{l-1}^0, T_l^0) = \rho_1(\hat{\theta}_k, \hat{\theta}_l) = \rho(p(\cdot; \hat{\theta}_k), p(\cdot; \hat{\theta}_l))$$

есть состоятельная оценка межклассового расстояния ρ_{kl}^0 по сериям наблюдений X_k^0, X_l^0 . Определим H_{0kl} : $d_k^0 = d_l^0$ — гипотезу однородности серий X_k^0, X_l^0 .

Теорема 1¹. Если \mathcal{P} регулярно, верна гипотеза H_{0kl} и

$$(9) \quad \nabla_{\theta_k, \theta_l}^2 \rho_1(\theta_k, \theta_l) \Big|_{\theta_k = \theta_l = \theta_k^0} = (-1)^{1+\delta_{ij}} B(\theta_k^0), \quad i, j \in \{k, l\},$$

где $B(\theta_k^0)$ — положительно определенная симметричная матрица, то в асимптотике растущих длин серий $\tau_1 \rightarrow \infty$ справедливо стохастическое разложение статистики (8):

$$(10) \quad \hat{\rho}_{kl} = (1/\tau_k^0 + 1/\tau_l^0) \xi^T J^{-1/2}(\theta_k^0) B(\theta_k^0) J^{-1/2}(\theta_k^0) \xi / 2 + O_P(\tau_1^{-3/2}),$$

где $\xi = (\xi_j) \in R^m$ — гауссовский вектор с независимыми компонентами, имеющими стандартное нормальное распределение $\mathcal{N}_P(0, 1)$, а $O_P(\tau_1^{-3/2}) \rightarrow$

$\rightarrow 0$ — остаточный член порядка $\tau_1^{-3/2}$, сходящийся к нулю по вероятности.

¹ Доказательства теорем и следствий приведены в приложении.

Следствие 1. Если

$$(11) \quad B(\theta_k^0) = (2/c) J(\theta_k^0),$$

где c — константа ($c=8$ для случая (6), $c=1$ для (7)), то нормированная оценка межклассового расстояния

$$(12) \quad r_{kl} = r_{kl}(T_{k-1}^0, T_k^0, T_{l-1}^0, T_l^0) = c \frac{\tau_k^0 \tau_l^0}{\tau_k^0 + \tau_l^0} \hat{\rho}_{kl}$$

асимптотически распределена по закону хи-квадрат с m степенями свободы.

Следствие 2. Пусть $\gamma_{1-\varepsilon}(m)$ — квантиль уровня $1-\varepsilon$ хи-квадрат распределения с m степенями свободы. В условиях следствия 1 асимптотический размер теста с критической областью $G = \{r_{kl} \geq \gamma_{1-\varepsilon}(m)\}$ отклонения гипотезы H_{0kl} совпадает с заданным уровнем значимости $\varepsilon \in (0, 1)$.

4. Непараметрическая оценка межклассового расстояния

Пусть \mathcal{P} — семейство трижды непрерывно дифференцируемых плотностей $p(x), x \in R^N$, ограниченных вместе со своими производными, причем

$$A_s(p) = \int_{R^N} p^s(x) dx < \infty, \quad s = 1, 2, 3.$$

Построим состоятельную непараметрическую оценку межклассового L_2 -расстояния (4), (5):

$$(13) \quad \hat{\rho}_{kl} = \hat{\rho}_{kl}(T_{k-1}^0, T_k^0, T_{l-1}^0, T_l^0) = \int_{R^N} (p_k(x) - p_l(x))^2 dx / 2 \geq 0,$$

где

$$(14) \quad \hat{p}_i(x) = (\tau_i^0)^{-1} \sum_{t=T_{i-1}^0+1}^{T_i^0} |H_i|^{-1} K(H_i^{-1}(x - x_t)),$$

$$x \in R^N, \quad i \in \{k, l\}$$

есть непараметрическая оценка Розенблатта — Парзена [14] для плотности $p_i(x)$, вычисленная по серии X_i^0 ; $K(y) = (2\pi)^{-N/2} \exp(-y^T y / 2)$ — N -мерное гауссовское ядро; $H_i = \text{diag}\{h_{ij}\}$ — диагональная матрица порядка N ; $h_{ij} = b_j(T_i^0 - T_{i-1}^0)^{-\alpha}$, ($\alpha > 0, b_j > 0, j = 1, N$) — коэффициент сглаживания. Подставив оценку (14) в (13), после преобразований получим явный вид статистики $\hat{\rho}_{kl}$:

$$\hat{\rho}_{kl} = (a_{kk} + a_{ll}) / 2 - a_{kl},$$

$$(15) \quad a_{kl} = (\tau_k^0 \tau_l^0)^{-1} |H_k^2 + H_l^2|^{-1/2} \sum_{t=T_{k-1}^0+1}^{T_k^0} \sum_{t'=T_{l-1}^0+1}^{T_l^0} \times \\ \times K((H_k^2 + H_l^2)^{-1/2}(x_t - x_{t'})).$$

Теорема 2. Если $p_k^0(\cdot), p_l^0(\cdot) \in \mathcal{P}$, верна гипотеза H_{0kl} и $(N+4)^{-1} < \alpha < N^{-1}$, то при $\tau_1 \rightarrow \infty$ справедливы асимптотические разложения для мо-

$$(16) \quad E\{\hat{\rho}_{kl}\} = (2\pi)^{-N/2} 2^{-1-N/2} B^{-1} ((\tau_k^0)^{-1+N\alpha} + (\tau_l^0)^{-1+N\alpha}) + o(\tau_{-}^{-1+N\alpha}),$$

$$(17) \quad D\{\hat{\rho}_{kl}\} = (2\pi)^{-N/2} 2^{-N-1} B^{-1} A_2(p) \left(\sum_{i \in \{k, l\}} (\tau_i^0)^{-2+N\alpha} + 2(\tau_k^0 \tau_l^0)^{-1} (((\tau_k^0)^{-2\alpha} + (\tau_l^0)^{-2\alpha})/2)^{-N/2} \right) + o(\tau_{-}^{-2+N\alpha}), \quad B = \prod_{j=1}^N b_j.$$

Аналогично (12) построим нормированную оценку

$$(18) \quad r_{kl} = r_{kl}(T_{k-1}^0, T_k^0, T_{l-1}^0, T_l^0) = \frac{\hat{\rho}_{kl} - (2\pi)^{-N/2} 2^{-1-N/2} B^{-1} ((\tau_k^0)^{-1+N\alpha} + (\tau_l^0)^{-1+N\alpha})}{\left((2\pi)^{-N/2} 2^{-N-1} B^{-1} A_2(\tilde{p}) \left(\sum_{i \in \{k, l\}} (\tau_i^0)^{-2+N\alpha} + 2(\tau_k^0 \tau_l^0)^{-1} (((\tau_k^0)^{-2\alpha} + (\tau_l^0)^{-2\alpha})/2)^{-N/2} \right) \right)^{1/2}},$$

где $\tilde{p}(x)$ — оценка плотности, вычисленная аналогично (14) для всего временного ряда X в предположении его однородности.

5. Решающие правила

Для произвольных $K \in A_K$, $\tau_1, \dots, \tau_K \in A_T$ моментов «разладки» $T_k = T_{k-1} + \tau_k$ ($k=1, K$, $T_0=0$, $T_K=n$) аналогично (1) «разобьем» наблюдаемый ряд X на K серий X_1, \dots, X_K . С помощью (2), (12), (18) построим статистику $\{r_{kl}\}$ и функционал

$$R = R(K, \{T_k\}) = (K-1)^{-1} \sum_{k=1}^{K-1} q_2(T_k - T_{k-1}, T_{k+1} - T_k) r_{k, k+1}(T_{k-1}, T_k, T_k, T_{k+1}),$$

где R — усредненная (с весами) по всем $K-1$ «разладкам» величина межклассового расстояния. Оценку числа серий K и моментов «разладки» $\{T_k\}$ определим при решении экстремальной задачи

$$(19) \quad R(K, \{T_k\}) \rightarrow \max_{\{T_k\}} \max_{K \in A_K}.$$

С учетом (1) целевую функцию в (19) преобразуем к виду

$$(20) \quad R(K, \{T_k\}) = (K-1)^{-1} \sum_{k=1}^{K-3} \Psi_k(T_k, T_{k+1}, T_{k+2}),$$

$$\Psi_1(T_1, T_2, T_3) = q_2(T_1, T_2 - T_1) r_{1,2}(0, T_1, T_1, T_2) + q_2(T_2 - T_1, T_3 - T_2) r_{2,3}(T_1, T_2, T_2, T_3),$$

$$\Psi_j(T_j, T_{j+1}, T_{j+2}) = q_2(T_{j+1} - T_j, T_{j+2} - T_{j+1}) r_{j, j+1} \times (T_j, T_{j+1}, T_{j+1}, T_{j+2}), \quad j=2, K-4,$$

$$\Psi_{K-3}(T_{K-3}, T_{K-2}, T_{K-1}) = q_2(T_{K-2} - T_{K-3}, T_{K-1} - T_{K-2}) r_{K-2, K-1}(T_{K-3}, T_{K-2}, T_{K-2}, T_{K-1}) + q_2(T_{K-1} - T_{K-2}, T_{K-1} - T_{K-1}) r_{K-1, K}(T_{K-2}, T_{K-1}, T_{K-1}, n).$$

Представление (20) позволяет аналогично [6, 14] успешно применить в (19) для максимизации по T_1, \dots, T_{K-1} при наличии ограничений $T_{k-1} + \tau_{-} \leq T_k \leq \min\{T_{k-1} + \tau_{+}, n - (K-k)\tau_{-}\}$ ($k=1, K-1$) для каждого значения $K \in A_K$ метод динамического программирования [15]. Максимизация по $K_{-} \leq K \leq K_{+}$ проводится перебором $K_{+} - K_{-} + 1$ значений целевой функции (20). Вычислительная сложность этого алгоритма решения задачи (19), (20) имеет оценку $O((\tau_{+} - \tau_{-})^2 (\tau_{+} - \tau_{-}) (K_{+}^3 - K_{-}^3))$.

При параметрической априорной неопределенности с помощью следствия 2 может быть проверена статистическая значимость каждого момента «разладки» \hat{T}_k . При этом \hat{T}_k является ε -значимым моментом «разладки», если $r_{k, k+1} \geq \gamma_{1-\varepsilon}(m)$.

Для классификации K серий, соответствующих моментам «разладки» $\hat{T}_1, \dots, \hat{T}_{K-1}$ (т. е. для нахождения оценок $\{\hat{d}_k\}$ номеров классов $\{d_k^0\}$), используется иерархическая кластер-процедура [16]. Она заключается в последовательном объединении кластеров и состоит из $K-L$ шагов. На первом шаге число классов предполагаем равным $L' = K$. Используя критерий

$$(21) \quad r_{kl}(\hat{T}_{k-1}, \hat{T}_k, \hat{T}_{l-1}, \hat{T}_l) \rightarrow \min_{1 \leq k < l \leq L'}$$

находим номера (k^*, l') двух наиболее близких кластеров (серий), объединяемых в один с номером k^* ; после этого число классов $L' = K - 1$. Далее процесс повторяется: находим два самых близких (по (21)) кластера и объединяем в один с меньшим номером и т. д., пока не получим заданное число $L' = L$ классов. После $K-L$ таких шагов получаем классификацию X на L классов, определяющую искомые оценки $\{\hat{d}_k\}$.

6. Вычислительные эксперименты. Заключение

Решающие правила (19)–(21) реализованы на ПЭВМ ЕС-1841; использовалась параметрическая статистическая оценка межклассового расстояния Бхаттачарья (6), (8), (12), а длины серий имели распределение (3), определяемое табл. 1, $\tau_{-} = 4$, $\tau_{+} = 9$.

Наблюдаемый двумерный ($N=2$) временной ряд X состоял из $K^0 = 6$ серий наблюдений (1), соответствующих двум ($L=2$) равновероятным классам ($\pi_1 = \pi_2 = 0,5$). Семейство \mathcal{P} являлось семейством N -мерных гауссовских плотностей $p(x; \theta) = n_N(x|\theta, \Sigma)$ с параметром $\theta \in R^2$ — вектором математического ожидания. В вычислительных экспериментах использованы 8 серий (по $M=50$ независимых реализаций в каждой), различающихся величиной межклассового расстояния Махаланобиса $\Delta = ((\theta_2^0 - \theta_1^0)^T \Sigma^{-1} (\theta_2^0 - \theta_1^0))^{1/2} \in \{1,048, 1,350, 1,681, 2,074, 2,562, 3,288, 4, 4,652\}$. Машинное время обработки одной реализации составляло 2 мин. На рис. 1 изображен график зависимости от Δ вероятности ошибочной классификации r_d : кружками — точечные оценки \hat{r}_d , штриховыми линиями — 95%-е доверительные границы, сплошными линиями — нижняя и верхняя границы, определяемые согласно [7, 17]:

$$r_{-} = \sum_{\tau=\tau_{-}}^{\tau_{+}} q_1(\tau) \Phi(-\sqrt{\tau} \Delta/2),$$

Таблица 1

τ	4	5	6	7	8	9
$q_1(\tau)$	0,10	0,22	0,35	0,18	0,10	0,05

Таблица 2

j	-2	-1	0	1
v_j	20	50	329	1

$$r_+ = \Phi(-\Delta/2) + n^{-1} \left(\frac{N+1+\Delta^2/4}{\sqrt{2\pi}\Delta} e^{-\Delta^2/8} + \frac{\Delta^2}{16} e^{-\Delta^2/4} \right),$$

где $\Phi(\cdot)$ — стандартная нормальная функция распределения. В табл. 2 представлено частотное распределение v_j уклонения $j = K - K^0$ при оценивании K^0 , вычисленное по результатам 400 экспериментов.

На рис. 2 изображен график зависимости от Δ выборочного среднего

для показателя эффективности $r_\tau = E \left\{ \sum_{i=1}^{K^0} \min |T_i^0 - T_k| \right\}$, характеризующего

точность оценивания моментов «разладки» $\{T_k^0\}$: кружки обозначают результаты вычислительных экспериментов; штриховые линии — 95%-е доверительные границы.

Таким образом, в работе получены следующие результаты: 1) предложен метод обнаружения многократных «разладок» и классификации временных рядов с помощью статистических оценок межклассовых расстояний; 2) в условиях регулярности найдены и исследованы состоятельные оценки межклассовых расстояний; 3) построены, реализованы на ПЭВМ и показали достаточную точность и быстродействие решающие правила для оценивания моментов «разладки», их числа, а также для классификации серий наблюдаемого временного ряда.

ПРИЛОЖЕНИЕ

Доказательство теоремы 1. Обозначим случайное уклонение оценки $\Delta\theta_k = \hat{\theta}_k - \theta_k^0$ и в точке (θ_k^0, θ_l^0) применим к (8) формулу Тейлора второго порядка с учетом (4), (9) и H_{kl} :

$$(П.1) \quad \hat{\rho}_{kl} = (\Delta\theta_k - \Delta\theta_l)^T B(\theta_k^0) (\Delta\theta_k - \Delta\theta_l) / 2 + Q_3,$$

где $Q = O(|\Delta\theta_k|^3 + |\Delta\theta_l|^3)$ — остаточный член. Из [13] следует, что при $\tau \rightarrow \infty$ $\Delta\theta_i$ имеет асимптотически нормальное распределение с нулевым математическим ожиданием и ковариационной матрицей $(\tau_i^0)^{-1} J^{-1}(\theta_i^0)$, $i \in \{k, l\}$:

$$(П.2) \quad Q_3 = O_p(\tau^{-3/2}) \rightarrow 0.$$

В силу независимости X_k^0, X_l^0 случайный вектор

$$(П.3) \quad \xi = (1/\tau_k^0 + 1/\tau_l^0)^{-1/2} J^{1/2}(\theta_k^0) (\Delta\theta_k - \Delta\theta_l) \in R^m$$

имеет асимптотически нормальное распределение с нулевым математическим ожи-

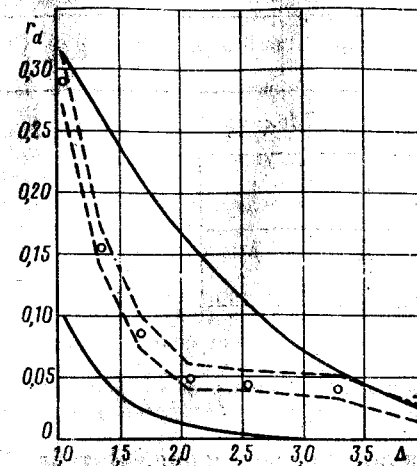


Рис. 1

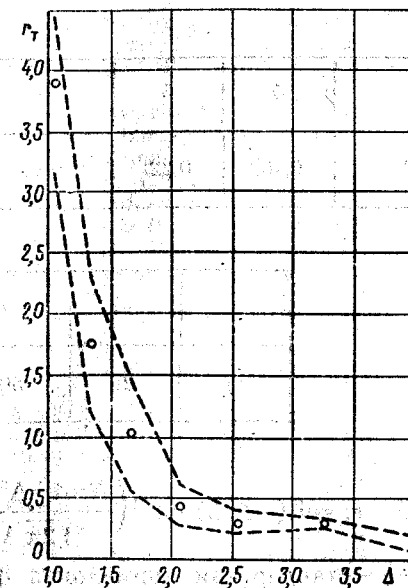


Рис. 2

данием и единичной ковариационной матрицей. Поэтому из (П.1)–(П.3) следует (10).

Доказательство следствий 1, 2. Утверждения следствий 1, 2 получаются подстановкой (10), (11) в (12).

Доказательство теоремы 2. Из (15) следует

$$(П.4) \quad E\{\hat{\rho}_{kl}\} = (E\{a_{kk}\} + E\{a_{ll}\}) / 2 - E\{a_{kl}\},$$

$$(П.5) \quad D\{\hat{\rho}_{kl}\} = (D\{a_{kk}\} + D\{a_{ll}\}) / 4 + D\{a_{kl}\} - \text{cov}\{a_{kk}, a_{kl}\} - \text{cov}\{a_{ll}, a_{kl}\}.$$

Обозначив $K_{kl}(z) = |H_k^2 + H_l^2|^{-1/2} K((H_k^2 + H_l^2)^{-1/2} z)$, имеем из (15):

$$E\{a_{kk}\} = (2\pi)^{-N/2-2-N/2} |H_k|^{-1} (\tau_k^0)^{-1} + (1-1/\tau_k^0) E\{K_{kk}(x_1-x_2)\},$$

$$E\{a_{kl}\} = E\{K_{kl}(x_1-x_2)\},$$

$$D\{a_{kk}\} = 2(\tau_k^0)^{-3} (\tau_k^0 - 1) (D\{K_{kk}(x_1-x_2)\} + 2(\tau_k^0 - 2) \text{cov}\{K_{kk}(x_1-x_2), K_{kk}(x_1-x_3)\}),$$

$$D\{a_{kl}\} = (\tau_k^0 \tau_l^0)^{-1} (D\{K_{kl}(x_1-x_2)\} + (\tau_k^0 + \tau_l^0 - 2) \text{cov}\{K_{kl}(x_1-x_2), K_{kl}(x_1-x_3)\}),$$

$$E\{a_{kk} a_{kl}\} = (\tau_k^0)^{-2} (\tau_k^0 - 1) (2E\{K_{kk}(x_1-x_2) K_{kl}(x_1-x_3)\} + (\tau_k^0 - 2) E\{K_{kk}(x_1-x_2) K_{kl}(x_1-x_2)\}).$$

Применяя для вычисления моментов статистик $K_{kl}(\cdot)$ методику из [14] и затем собирая в (П.4), (П.5) главные члены асимптотических разложений, получаем (16), (17).

СПИСОК ЛИТЕРАТУРЫ

1. Никифоров И. В. Последовательное обнаружение изменения свойств временных рядов. М.: Наука, 1983.
2. Клигене Н. И., Телькснис Л. А. Методы обнаружения моментов изменения свойств // АнТ. 1983. № 10. С. 5–56.

3. Обнаружение изменения свойств сигналов и динамических систем / Под ред. М. И. Бассвиля, А. В. Банвениста. М.: Мир, 1989.
4. Нежура А. А., Клекис Э. А. Оценивание параметров и состояния систем. Вильнюс: Мокслас, 1988.
5. Жигляский А. А., Красковский А. Е. Обнаружение разладки случайных процессов в задачах радиотехники. Ленинград: Изд-во ЛГУ, 1988.
6. Харин Ю. С. Обнаружение разладок марковского типа // Стат. пробл. упр. Вильнюс, 1984. Вып. 65. С. 225–233.
7. Харин Ю. С. Классификация случайных серий неизвестной длины // Проблемы передачи информации. 1985. Т. XXI. Вып. 4. С. 64–75.
8. Харин Ю. С. Выявление многократных разладок и классификация временного ряда с помощью дивергенции Кульбака // Стат. пробл. упр. Вильнюс, 1983. Вып. 83. С. 152–157.
9. Скляревич А. Н., Скляревич Ф. Н. Вероятностные модели объектов с возможными изменениями. Рига: Зинатне, 1989.
10. Артемьев В. М. Теория динамических систем со случайными изменениями структуры. Минск: Высшая школа, 1979.
11. Мельникова Е. Н., Харин Ю. С. О классификации серий многомерных наблюдений при случайной длине серий // Вестн. БГУ. 1988. Сер. 1. № 2. С. 43–48.
12. Фукунага К. Введение в статистическую теорию распознавания образов. М.: Наука, 1979.
13. Чибисов Д. Н. Асимптотическое разложение для одного класса оценок, включающего оценки максимального правдоподобия // Теория вероятностей и ее применения. 1973. Т. XVIII. Вып. 2. С. 303–311.
14. Епанечников В. А. Непараметрическая оценка многомерной плотности вероятностей // Теория вероятностей и ее применения. 1969. Т. XIV. Вып. 1. С. 156–160.
15. Габасов Р., Кириллова Ф. М. Основы динамического программирования. Минск: Изд-во БГУ, 1976.
16. Миленький А. В. Классификация сигналов в условиях неопределенности. М.: Сов. радио, 1975.
17. Харин Ю. С. Устойчивость самообучающихся решающих правил в задачах распознавания образов // Математическая статистика и ее приложения. Томск: ТГУ, 1986. Вып. 10. С. 216–226.

Поступила в редакцию 14.06.90

УДК 519.218.82

© 1991 г.

Е. А. СЕМЕНЧИН, канд. физ.-мат. наук

(Ставропольский политехнический институт)

ОБ ОЦЕНКЕ РЕШЕНИЯ ПОЧТИ ОПТИМАЛЬНОГО ЛИНЕЙНОГО ФИЛЬТРА

Дается выражение, ограничивающее сверху математическое ожидание квадрата отклонения почти оптимальной оценки от оптимальной в задаче линейной фильтрации многомерного частично наблюдаемого случайного процесса диффузионного типа. Из него следует известный результат о сходимости в средневекторном решении почти оптимального фильтра к оптимальной оценке в случае вырождения матрицы ковариаций шумов наблюдаемых компонент указанного процесса.

1. Введение

Основные результаты теории оптимальной линейной фильтрации частично наблюдаемых случайных процессов достаточно подробно и полно изложены в [1, 2]. При выводе уравнений оптимальных фильтров одним из основных предположений является предположение о невырожденности